

Figura 189. Componente real de la densidad de campo B.
 $f_e=200\text{Hz}$ - $f_r=9.5\text{Hz}$ - $s=0.05$. Distribución por par de polos $p=20$.

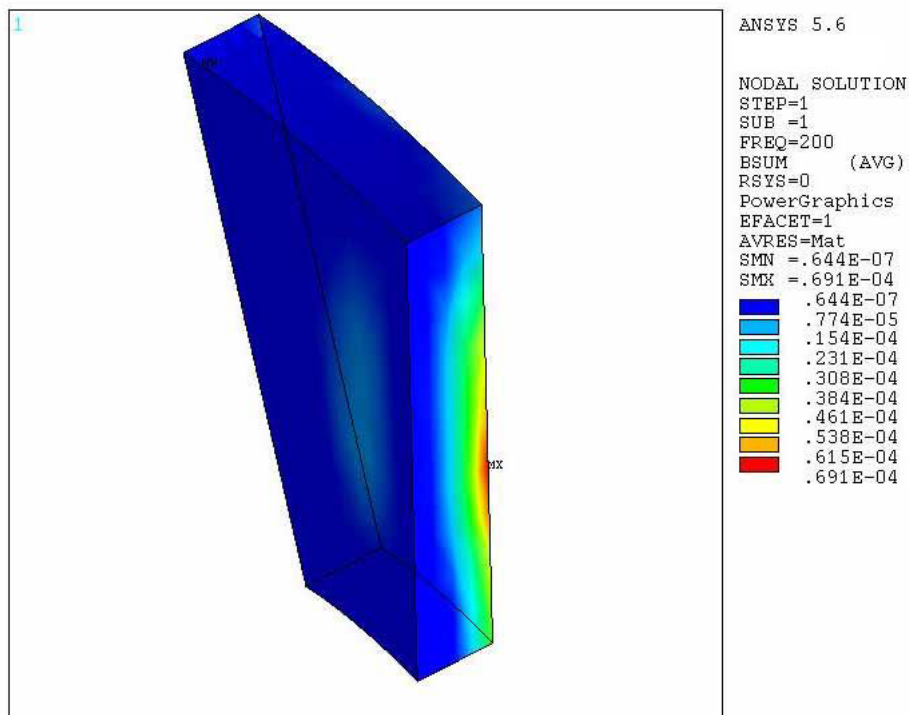


Figura 190. Componente imaginaria de la densidad de campo B.
 $f_e=200\text{Hz}$ - $f_r=9.5\text{Hz}$ - $s=0.05$. Distribución por par de polos $p=20$.

A.1.1.4. $f_e=300\text{Hz}$ - $f_r=14.25\text{Hz}$.

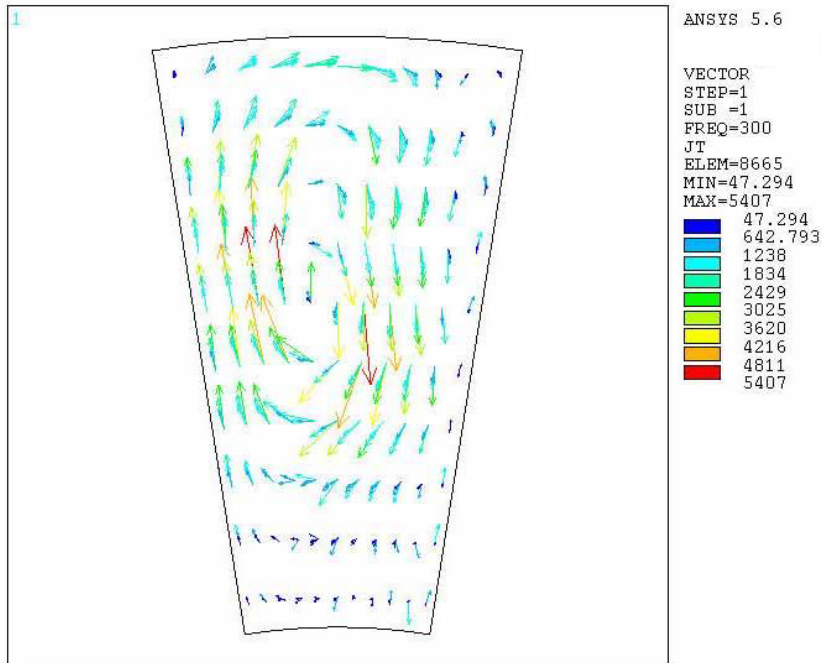


Figura 191. Componente real de la J del rotor. $f_e=300\text{Hz}$ - $f_r=14.25\text{Hz}$ - $s=0.05$. Distribución por par de polos $p=20$.

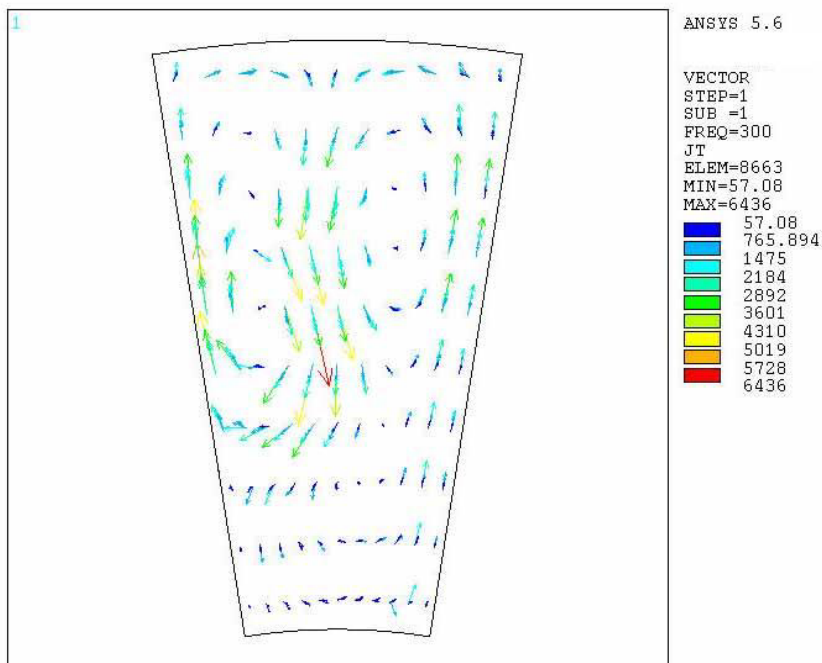


Figura 192. Componente imaginaria de la J del rotor. $f_e=300\text{Hz}$ - $f_r=14.25\text{Hz}$ - $s=0.05$. Distribución por par de polos $p=20$.

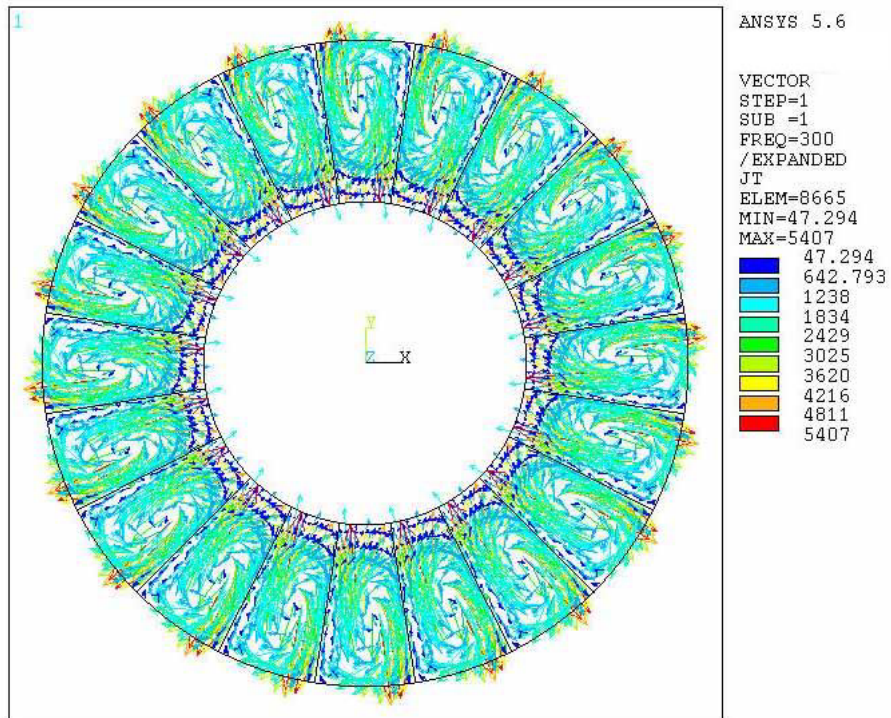


Figura 193. Componente real de la J del rotor. $f_e=300\text{Hz}$ - $f_r=14.25\text{Hz}$ - $s=0.05$. $p=20$.

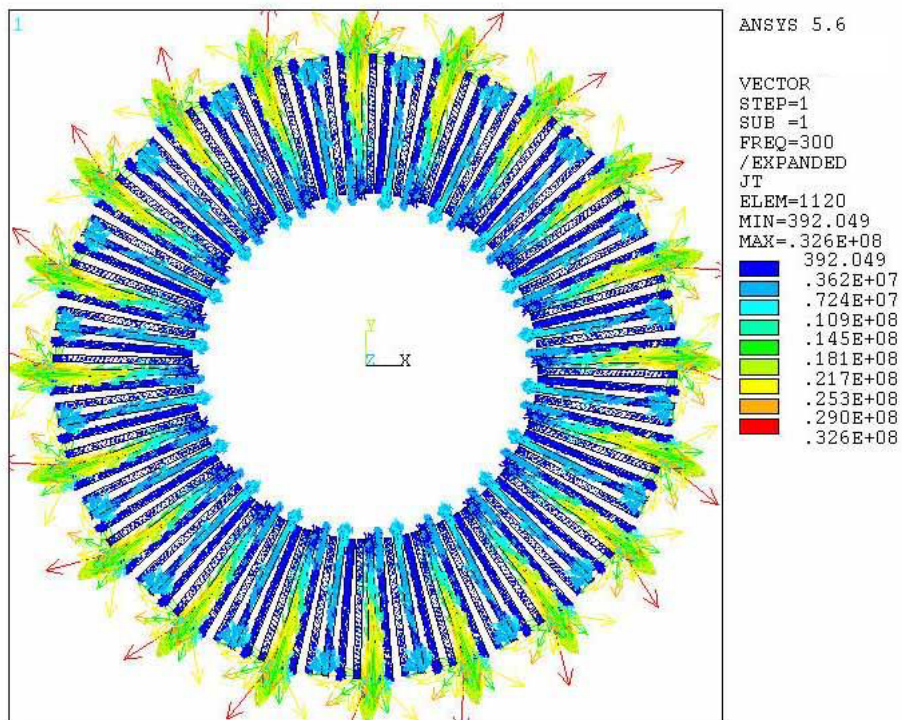


Figura 194. Componente real de las corrientes estáticas. $f_e=300\text{Hz}$ - $f_r=14.25\text{Hz}$ - $s=0.05$. $p=20$.

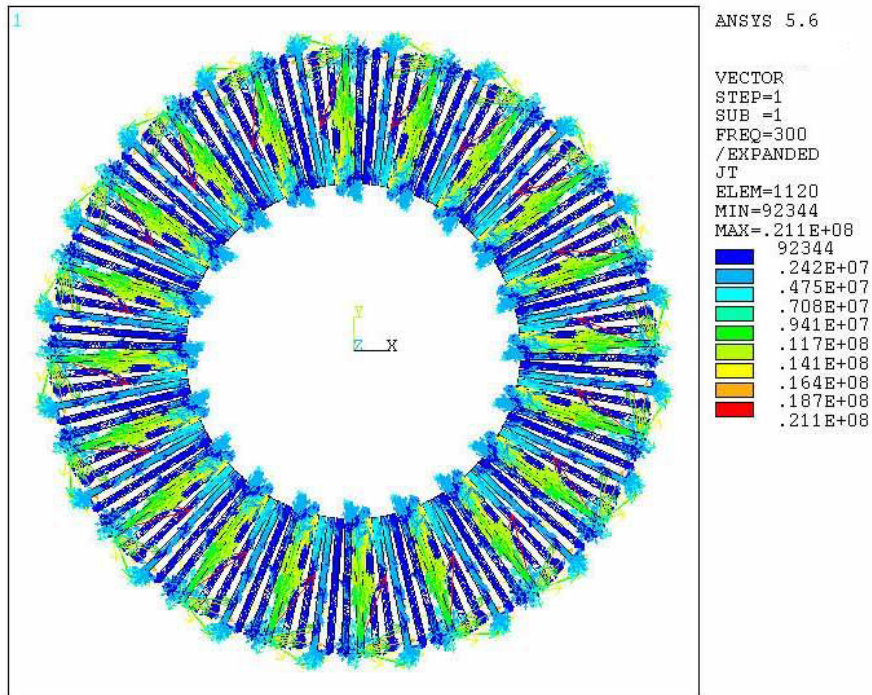


Figura 195. Componente imaginaria de las corrientes estáticas.
 $f_e=300\text{Hz}$ - $f_r=14.25\text{Hz}$ - $s=0.05$. $p=20$.

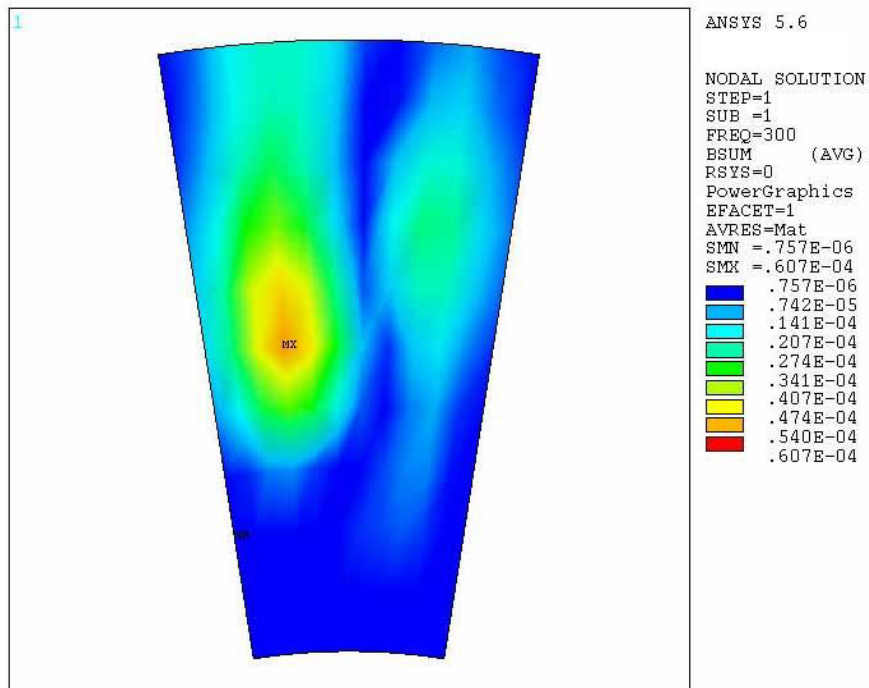


Figura 196. Componente real de la densidad de campo B.
 $f_e=300\text{Hz}$ - $f_r=14.25\text{Hz}$ - $s=0.05$. Distribución por par de polos
 $p=20$.

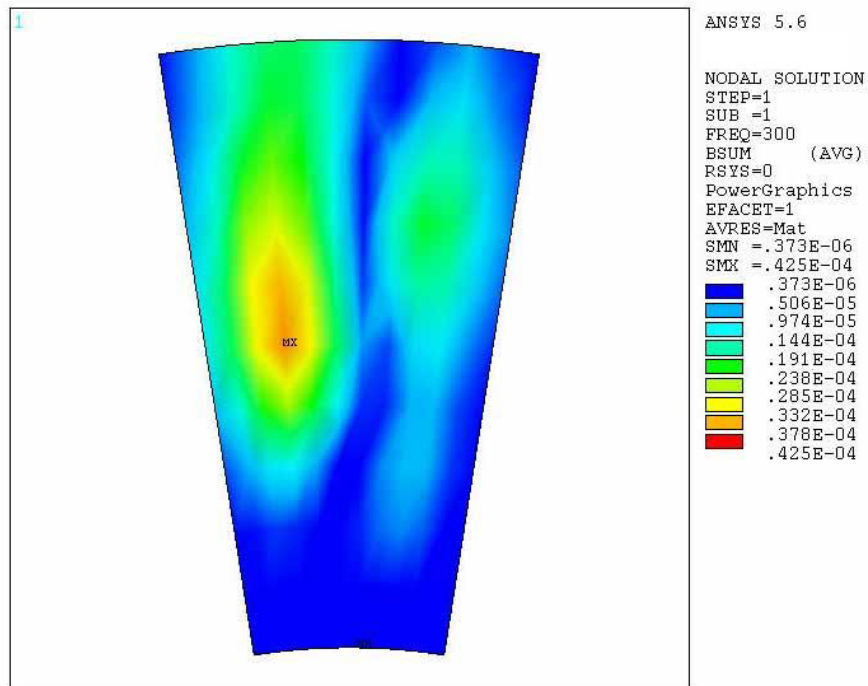


Figura 197. Componente imaginaria de la densidad de campo B.
 $f_e=300\text{Hz}$ - $f_r=14.25\text{Hz}$ - $s=0.05$. Distribución por par de polos
 $p=20$.

A.1.1.5. $f_e=500\text{Hz}$ - $f_r=23.75\text{Hz}$.

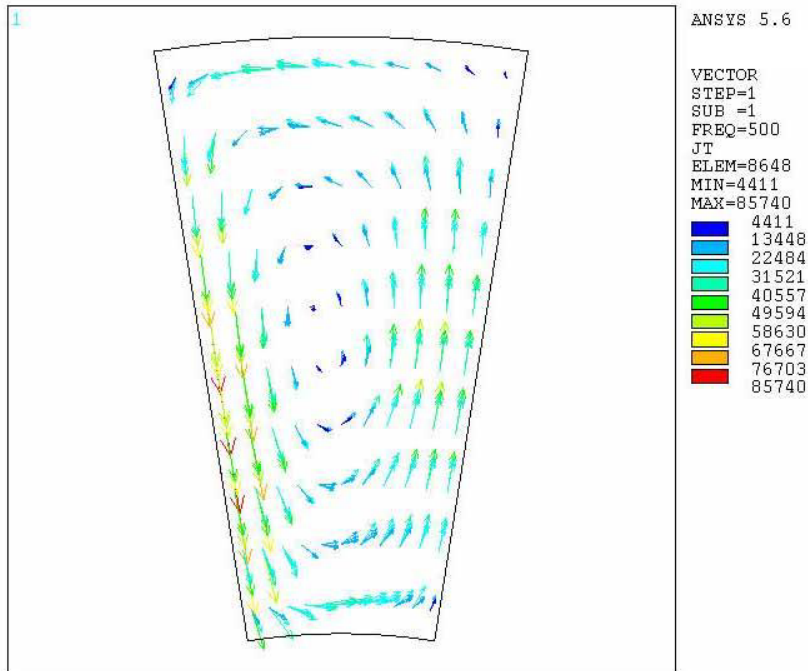


Figura 198. Componente real de la J del rotor. $f_e=500\text{Hz}$ - $f_r=23.75\text{Hz}$ - $s=0.05$. Distribución por par de polos $p=20$.

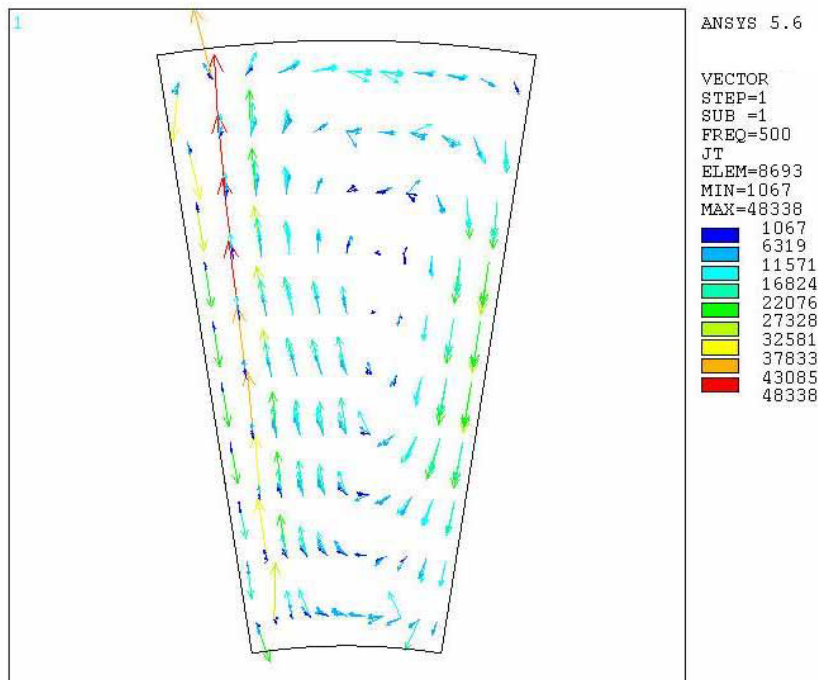


Figura 199. Componente imaginaria de la J del rotor. $f_e=500\text{Hz}$ - $f_r=23.75\text{Hz}$ - $s=0.05$. Distribución por par de polos. $p=20$.

A.1.1.6. $f_e=1000\text{Hz}$ - $f_r=47.5\text{Hz}$.

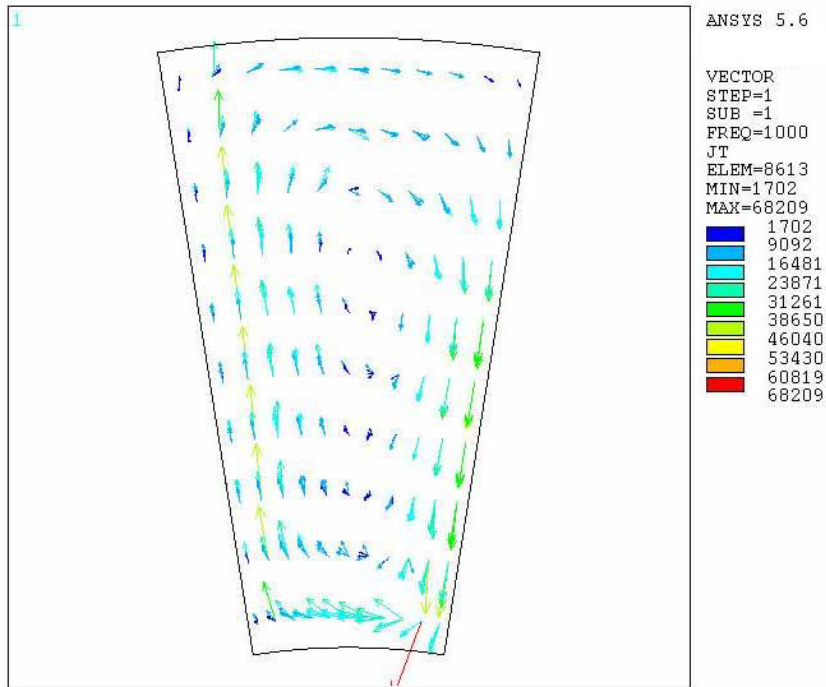


Figura 200. Componente real de la J del rotor. $f_e=1000\text{Hz}$ - $f_r=47.5\text{Hz}$ - $s=0.05$. Distribución por par de polos $p=20$.

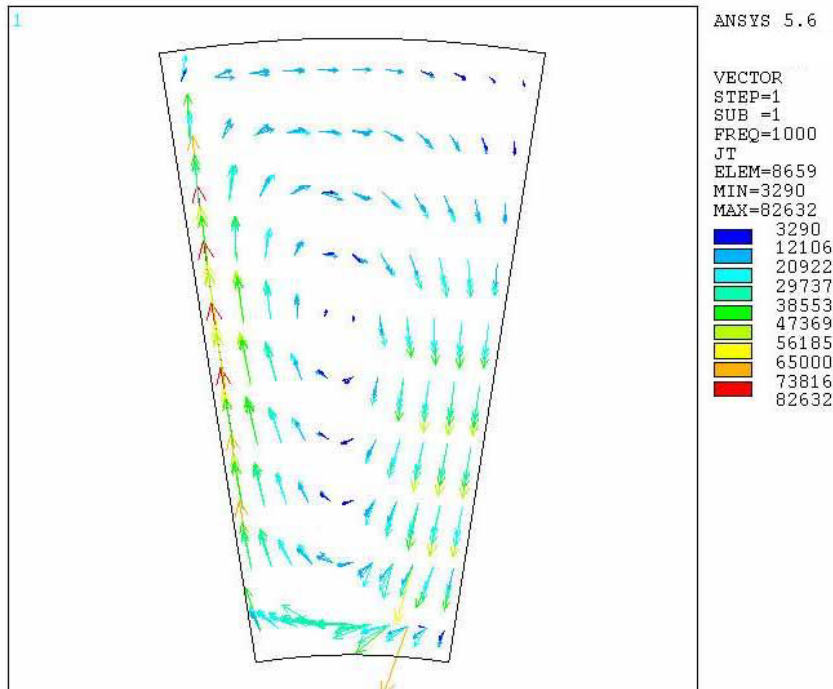


Figura 201. Componente imaginaria de la J del rotor. $f_e=1000\text{Hz}$ - $f_r=47.5\text{Hz}$ - $s=0.05$. Distribución por par de polos $p=20$.

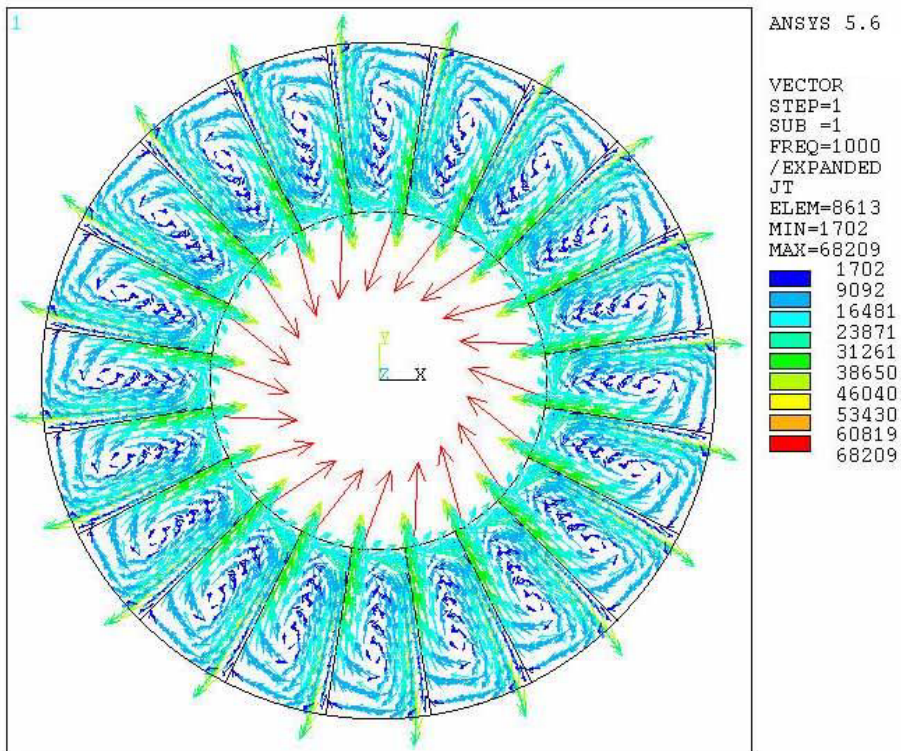


Figura 202. Componente real de la J del rotor. $f_e=1000\text{Hz}$ - $f_r=47.5\text{Hz}$ - $s=0.05$. $p=20$.

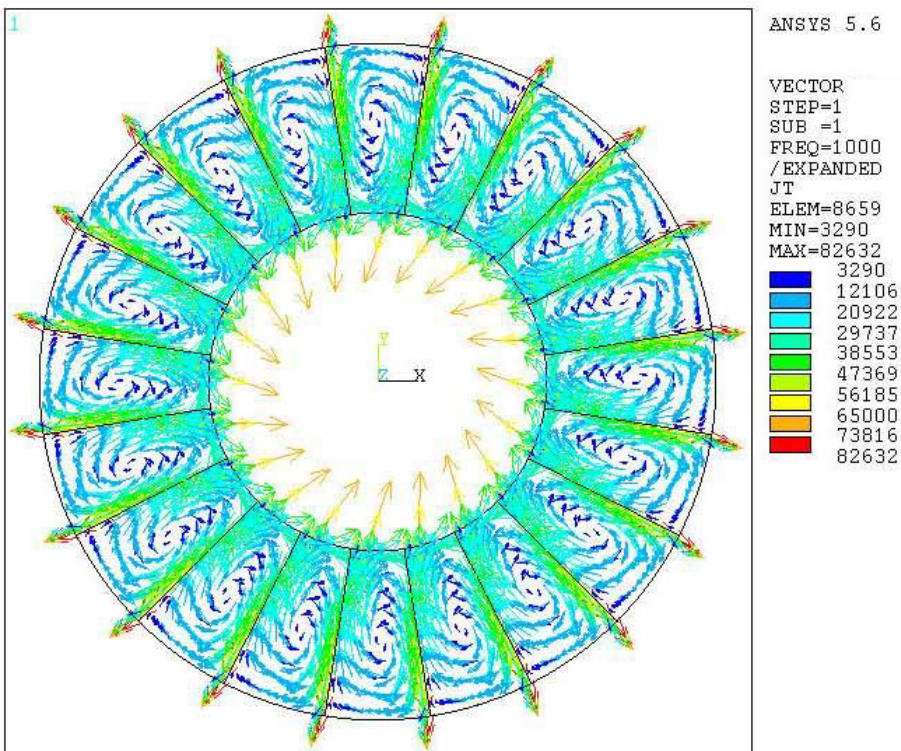


Figura 203. Componente imaginaria de la J del rotor. $f_e=1000\text{Hz}$ - $f_r=47.5\text{Hz}$ - $s=0.05$. $p=20$.

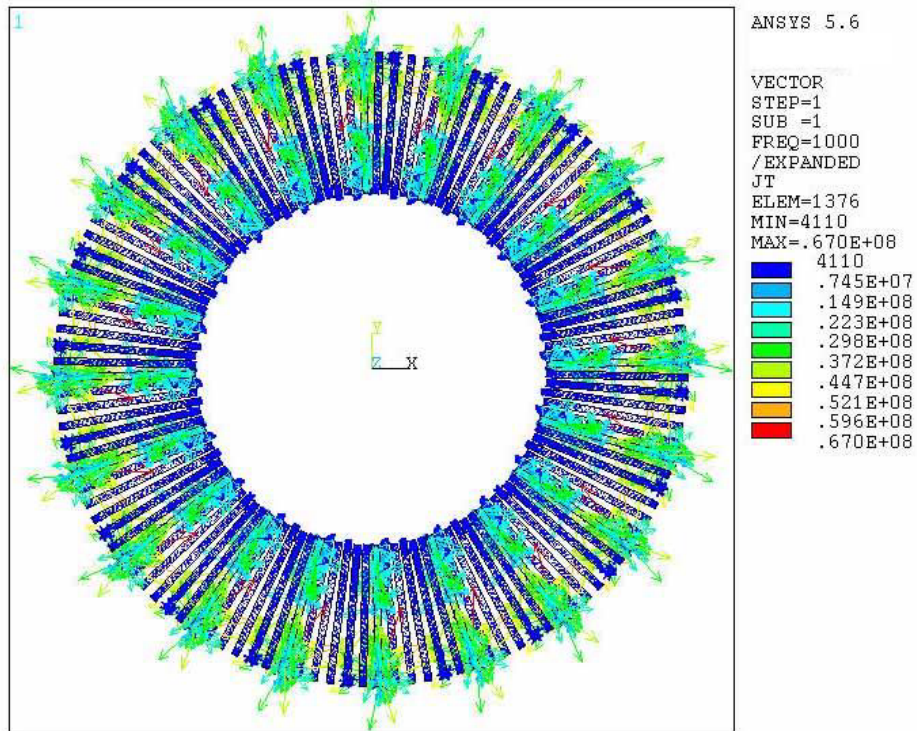


Figura 204. Componente real de las corrientes estáticas.
 $f_e=1000\text{Hz}$ - $f_r=47.5\text{Hz}$ - $s=0.05$. $p=20$.

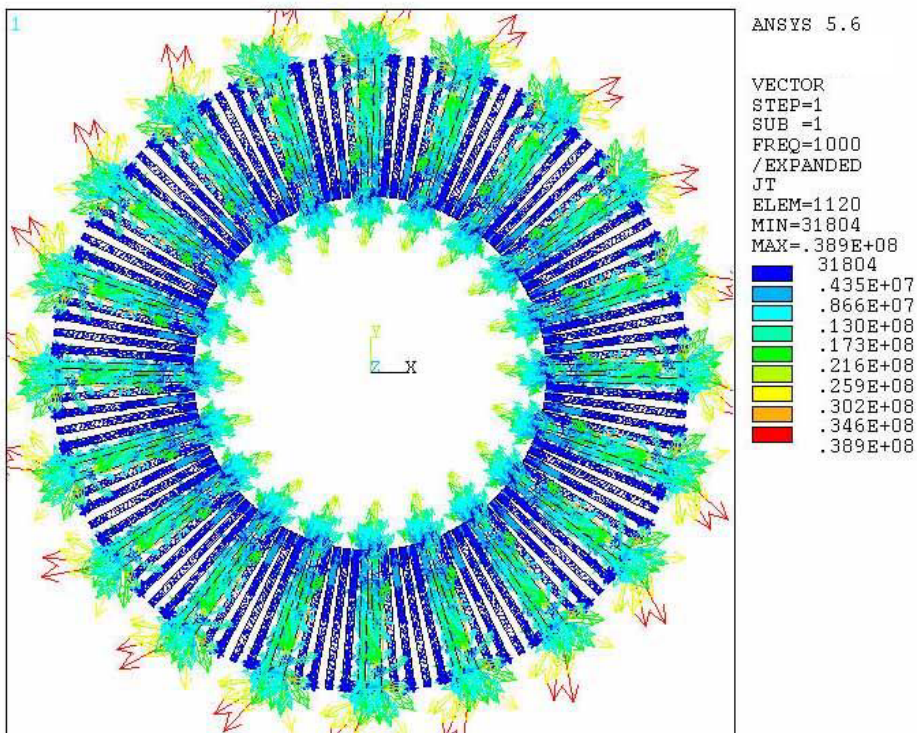


Figura 205. Componente imaginaria de las corrientes estáticas.
 $f_e=1000\text{Hz}$ - $f_r=47.5\text{Hz}$ - $s=0.05$. $p=20$.

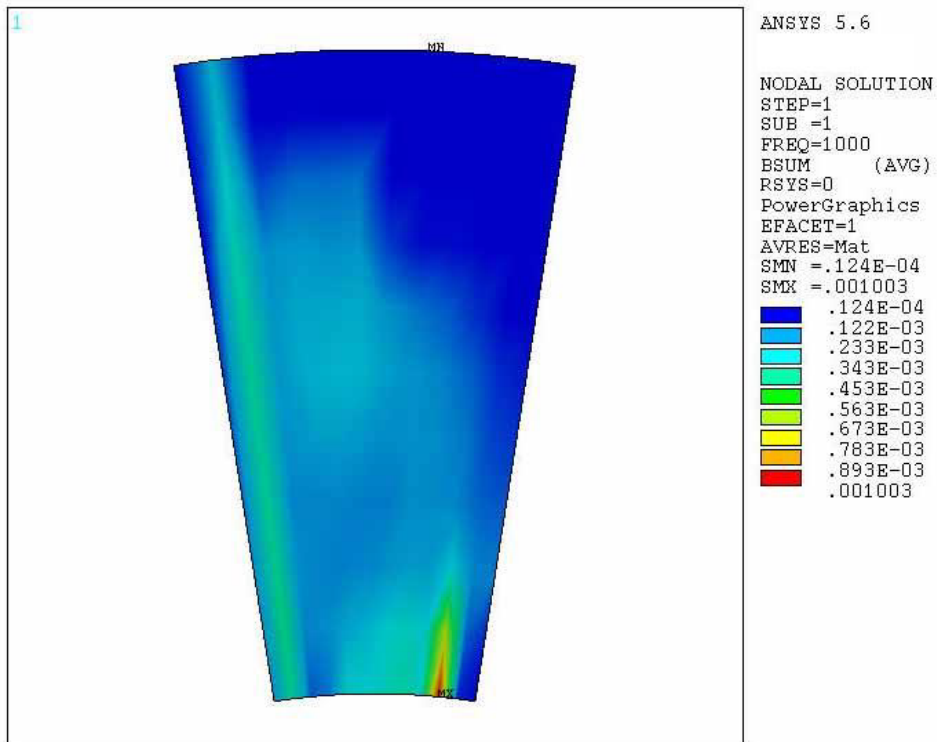


Figura 206. Componente real de la densidad de campo B. $f_e=1000\text{Hz}$ - $f_r=47.5\text{Hz}$ - $s=0.05$. Distribución por par de polos $p=20$.

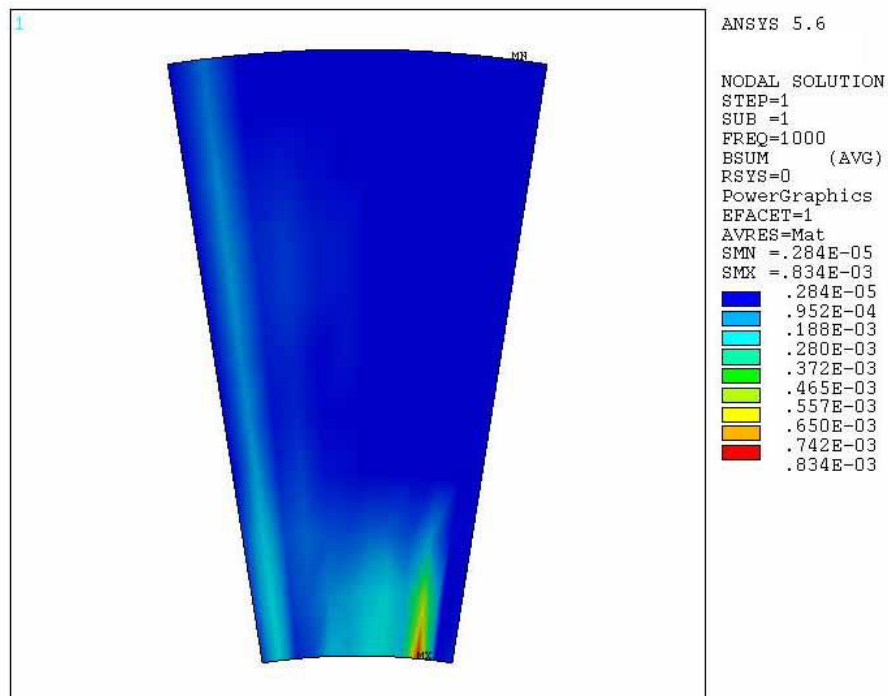


Figura 207. Componente imaginaria de la densidad de campo B. $f_e=1000\text{Hz}$ - $f_r=47.5\text{Hz}$ - $s=0.05$. Distribución por par de polos $p=20$.